

# 開水路彎曲部における流れの解法について

神戸大学 正員 松 梨 順三郎

## 1. 基礎方程式

著者は昨年の年次学術講演会において、"開水路彎曲部流れの水理特性について"と題して、彎曲部流れの基礎方程式をつきのように発表した。<sup>3)</sup>

$$\left. \begin{aligned} \frac{\partial}{\partial r} \left( rh \int_0^1 v_r^2 d\gamma \right) + \frac{\partial}{\partial \theta} \left( h \int_0^1 v_\theta v_r d\gamma \right) - h \int_0^1 v_\theta^2 d\gamma &= gh I_r r \cos \alpha - \frac{r \zeta_{ro}}{\rho} \\ \frac{1}{r} \frac{\partial}{\partial r} \left( r^2 h \int_0^1 v_\theta^2 d\gamma \right) + \frac{\partial}{\partial \theta} \left( h \int_0^1 v_\theta^2 d\gamma \right) &= gh I_\theta r \cos \alpha - \frac{r \zeta_{eo}}{\rho} \\ \frac{\partial}{\partial \theta} \left( h \int_0^1 v_\theta d\gamma \right) + \frac{\partial}{\partial r} \left( rh \int_0^1 v_r d\gamma \right) &= 0 \end{aligned} \right\} \quad (1)$$

ここに、座標系は円筒座標  $(r, \theta, z)$  とし、 $z=0$  の座標面は水平面と角  $\alpha$  をなすものとする。 $r$  および  $\theta$  方向の速度成分をそれぞれ  $v_r$  および  $v_\theta$ 、底面掃流力強度の成分をそれぞれ  $I_r$  および  $I_\theta$ 、水面勾配をそれぞれ  $I_r$  および  $I_\theta$  とし、 $h$  は水深、 $g$  は重力の加速度、 $\rho$  は水の密度、 $\gamma = \bar{z}/h$ 、 $\bar{z} = z - \varepsilon(r, \theta)$  で、 $\varepsilon(r, \theta)$  は河床形状を表わす既知関数とする。方程式(1)を用いて解析を進めていくにはまず  $v_r$  および  $v_\theta$  の変数  $\gamma$  に関する分布特性を与える必要がある。

### 1) $v_r(r, \theta, \gamma)$ および $v_\theta(r, \theta, \gamma)$ の近似式

式(1)は彎曲部の曲率半径に比して水深が小さく、 $h/r \ll 1$  である場合の、つきのような乱流の基礎方程式をもとに誘導せられている。<sup>3), 1)</sup>

$$\left. \begin{aligned} v_r \frac{\partial v_r}{\partial r} + \frac{v_\theta}{r} \frac{\partial v_r}{\partial \theta} + v_z \frac{\partial v_r}{\partial z} - \frac{v_\theta^2}{r} &= R_o - \frac{1}{\rho} \frac{\partial p}{\partial r} + \frac{1}{\rho} \frac{\partial \zeta_{rz}}{\partial z} \\ v_r \frac{\partial v_\theta}{\partial r} + \frac{v_\theta}{r} \frac{\partial v_\theta}{\partial \theta} + v_z \frac{\partial v_\theta}{\partial z} + \frac{v_r v_\theta}{r} &= \theta_o - \frac{1}{\rho} \frac{\partial p}{\partial \theta} + \frac{1}{\rho} \frac{\partial \zeta_{eo}}{\partial z} \\ 0 &= Z_o - \frac{1}{\rho} \frac{\partial p}{\partial z} \end{aligned} \right\} \quad (2)$$

ここに、 $R_o = -g \sin \alpha \cos \theta$ 、 $\theta_o = g \sin \alpha \sin \theta$ 、 $Z_o = -g \cos \alpha$  とする。

いま開水路彎曲部の延長が非常に長く、そのためにいずれの  $r$  方向断面においてもその速度分布が  $\theta$  方向に無関係であり、さらに水路幅が非常に広くて、式(2)の各式の左辺加速度項は遠心力にもとづく項、 $v_\theta^2/r$  を除いて省略しうる場合を考察する。すると式(2)はつきのようになる。

$$\left. \begin{aligned} -\frac{v_\theta^2}{r} &= g I_{ro} + \frac{1}{\rho} \frac{\partial \zeta_{rz}}{\partial z} \\ 0 &= g I_{eo} + \frac{1}{\rho} \frac{\partial \zeta_{eo}}{\partial z} \\ \rho &= \rho g (h + \varepsilon - z) \cos \alpha \end{aligned} \right\} \quad (3)$$

ここに  $I_{ro}$  よび  $I_{eo}$  はそれぞれ  $r$  方向および流れの主流方向における水面勾配とする。式(3)の第2式を境界条件  $[C_{rz}]_{z=h} = 0$  のもとに積分し、プラントルの混合距離の理論を適用すると、よく知られている流速分布に関する対数法則をうる。

$$V_e = \frac{V_{eo}}{k} \log \frac{z}{z_o} \quad (4)$$

ここに、 $V_{eo} = (C_{eo}/\rho)^{1/2}$  であり、 $z_o$  は境界条件  $[V_e]_{z=z_o} = 0$  によって定義され、 $k$  はカルマン常数とする。式(4)を用いて  $V_e$  の最大値  $V_{em}$  および平均値  $V_{em}$  を求めると、

$$V_{em} = V_{eo} \frac{1}{k} \log \frac{h}{z_o} \quad (5), \quad V_{em} = V_{eo} \frac{1}{k} \log \frac{h}{z_o} - \frac{1}{k} \quad (6)$$

これらの式から  $h/z_o$  を消去し、Chezyの平均流速公式  $V_{eo} = V_{em} \sqrt{f}/C$  を代入すると、 $V_{em} = V_{em} \{1 + \sqrt{f}/(kC)\}$ 、これを式(5)に代入すると、

$$\frac{1}{k} \log \frac{h}{z_o} = \frac{V_{em}}{V_{eo}} \left(1 + \frac{\sqrt{f}}{kC}\right) \quad (9)$$

一方式(4)の  $z$  を  $\gamma$  に変数変換し、式(9)を代入すると、

$$V_e = V_{em} \{1 + m(1 + \log \gamma)\} \quad (10)$$

ここに、 $m = \sqrt{f}/kC$  とする。

つきに式(3)に  $C_{rz} = \rho \nu_t (\partial V_r / \partial z)$  を代入し、 $z$  を  $\gamma$  に変数変換して、境界条件  $[C_{rz}]_{\gamma=1} = 0$  のもとに積分すると、

$$\rho \nu_t \frac{\partial V_r}{\partial \gamma} = -\rho g h^2 I_{ro} \gamma - \frac{\rho h^2 V_{em}^2}{r} \{m^2 (\log \gamma)^2 + 2m \log \gamma + m^2 + 1\} \gamma + C_1 \quad (11)$$

ここに、 $C_1 = \rho g h^2 I_{ro} + \rho h^2 V_{em}^2 (m^2 + 1)/r$ 、 $\nu_t$  は渦動粘性係数とする。一般に  $\nu_t$  は  $\gamma$  の関数であるが、簡単化のためにここでは  $\nu_t$  の代りにその  $\gamma$  についての平均値  $\nu_{tm}$  を用いることにし、式(11)を境界条件  $[V_r]_{\gamma=0} = 0$  のもとに積分すると、

$$V_r = -\frac{g h^2 I_{ro}}{2 \nu_{tm}} (\gamma^2 - 2\gamma) - \frac{h^2 V_{em}^2}{4 r \nu_{tm}} \left[ \{2m^2 (\log \gamma)^2 + (-2m^2 + 4m) \log \gamma + 3m^2 - 2m + 2\} \gamma^2 - 4(m^2 + 1)\gamma \right] \quad (12)$$

一方、連続方程式の一般形は式(1)の第3式で与えられるが、ここで考へている流れに対しては、次式で与えられるとしてよい。

$$\int_0^1 V_r d\gamma = 0 \quad (13)$$

式(13)が満足せられるように、この場合の  $r$  方向の水面勾配  $I_{ro}$  を決定すると、

$$I_{ro} = \frac{-V_{em}^2}{36 r g} (17m^2 + 30m + 36) \quad (14)$$

式(14)を式(12)に代入すると、

$$U_r = \frac{h^2 U_{\theta m}^2}{72 r \mu_{tm}} \left[ \gamma^2 \left\{ -36m^2 (\log \gamma)^2 / 18(-2m^2 + 4m) \log \gamma - 37m^2 + 66m + 7(38m^2 - 60m) \right\} \right] \quad (15)$$

つぎに式(8)の第2式を積分すると、  
 $T_{\theta z} = \rho U_{\theta m}^2 (1-\gamma)$ 、プラントルの混合距離の理論によると  $T_{\theta z} = (\rho \mu_t / h) (20 / \gamma)$ 、両者より  $T_{\theta z}$  を消去し、(14)式を代入して、 $\mu_t$ について解き、その平均値  $\mu_{tm}$  を求めると、

$$\mu_{tm} = \frac{\sqrt{g} k h U_{\theta m}}{6C} \quad (16)$$

式(16)を式(15)に代入し、無次元の  $\gamma$  方向流速成分  $U_r$  をあらたに導入すると、  
 $U_r = \gamma^2 \left\{ -36m(\log \gamma)^2 / 36(-m+2) \log \gamma - 37m + 66 \right\} + 7(38m - 60) \quad (17)$

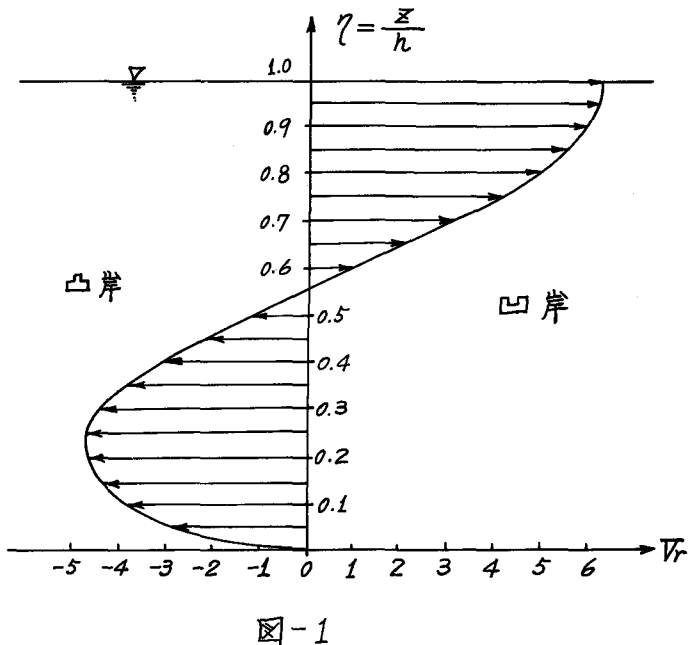


図-1

ここに、 $U_r = (h_0 m h C U_{\theta m} U_r) / (12 r k \sqrt{g})$ 、 $h_0$  は補正の係数で実験資料によって決定せられるべき係数である。図-1は  $R = 2.34 \text{ ft}$ ,  $K = 0.425 \text{ ft}$ ,  $k = 0.4$  の場合の  $U_r$  の分布を表わす。ただし、

$$m = \frac{\sqrt{g}}{h_0 C} = \frac{1}{h_0 (6.0 + 5.75 \log_{10} R/K)} \quad (18)$$

とし、 $K$  は河床粗度、 $R$  は水路の径深とする。

## 2) 基礎方程式の変形

まづ式(19)および(20)の  $U_r$  やび  $U_\theta$  を式(1)の第1および第2式に代入すると、

$$\left. \begin{aligned} P_m \frac{\partial}{\partial r} \left( \frac{h^2 U_{\theta m}^2}{r} \right) + Q_m \frac{\partial}{\partial \theta} \left( \frac{h^2 U_{\theta m}^2}{r} \right) - R_m h U_{\theta m}^2 &= -ghr \cos \alpha \frac{\partial}{\partial r} (h + \varepsilon) - r U_{\theta m}^2 \\ Q_m \frac{1}{r} \frac{\partial}{\partial r} (rh^2 U_{\theta m}^2) + R_m \frac{\partial}{\partial \theta} (h U_{\theta m}^2) &= ghr J_{\theta m} \cos \alpha - gh \cos \alpha \frac{\partial h}{\partial \theta} - r U_{\theta m}^2 \end{aligned} \right\} \quad (19)$$

ここに、

$$\left. \begin{aligned} P_m &= \frac{1}{144 k^2 m^2} \left( \frac{24}{3125} P_0 - \frac{68}{625} + \frac{2 N_0}{125} - \frac{L_0}{25} + \frac{T_0}{5} + \frac{B_0}{64} - \frac{f_0}{16} + \frac{d_0}{4} + \frac{C_0}{3} \right) \\ Q_m &= \frac{1}{12 k^2 m^2} \left( -\frac{2 P_1}{27} + \frac{2 S_1}{27} - \frac{V_1}{3} + \frac{D_1}{3} - \frac{T_1}{4} + \frac{B_1}{2} \right), R_m = \frac{1}{h^2 m^2} (m^2 + 1) \end{aligned} \right\} \quad (20)$$

$$\left. \begin{aligned} P_0 &= 1296 m^2, S_0 = 2592(-m^2 + 2m), N_0 = 72(55m^2 - 138m + 72) \\ L_0 &= 72(-37m^2 + 140m - 132), T_0 = (37m - 66)^2, B_0 = -36(76m^2 - 120m) \\ f_0 &= -36(-76m^2 + 272m - 240), d_0 = -4(703m^2 - 2364m + 1980) \\ C_0 &= (38m - 60)^2 \end{aligned} \right\} \quad (21)$$

$$\left. \begin{aligned} P_1 &= 36m^2, S_1 = -108m, V_1 = -(m^2 - 30m + 72), D_1 = -(37m^2 - 29m - 66) \\ T_1 &= 38m^2 - 60m, B_1 = 38m^2 - 22m - 60 \end{aligned} \right\} \quad (22)$$

$$\tau_{ro} = \rho U_{r*}^2, \quad \tau_{\theta o} = \rho U_{\theta*}^2, \quad I_r = -\frac{\partial}{\partial r}(h + \varepsilon) \quad (23)$$

つぎに式(1)の第3式、すなわち連続方程式の中の積分を実行するについて、式(2)のひをそのまま用いることは適当でない。何故ならこのひは式(4)を恒等的に満足するからである。そこでこのひの代りに、式(4)において  $I_{ro}$  の代りに  $I_r$  とおいた場合のひを用いることにする。式(1)の第3式は、

$$C_m \frac{\partial}{\partial \theta} (h U_{\theta*}) + A_m \left\{ \frac{h^2 I_r}{U_{\theta*}} + r \frac{\partial}{\partial r} \left( \frac{h^2 I_r}{U_{\theta*}} \right) \right\} + B_m \frac{\partial}{\partial r} (h^2 U_{\theta*}) = 0 \quad (24)$$

ここに、 $A_m = 2g/k$ ,  $B_m = (17m^2 + 30m + 36)/(18k^3 m^2)$ ,  $C_m = 1/km$  とする。簡単のために、式(24)の左辺大括弧内第2項の  $I_r$  を式(4)の  $I_{ro}$  に近似する。さらに変数  $r$ ,  $\theta$  および未知量  $h$ ,  $U_{\theta*}$ ,  $U_{r*}$  などの代りにつぎのような無次元量を導入する。

$$\left. \begin{aligned} \frac{r}{r_o} &= x, \quad \frac{\theta}{\theta_o} = y, \quad \frac{h}{h_o} = \psi, \quad \frac{\varepsilon}{h_o} = \zeta \\ \frac{U_{\theta*}}{\sqrt{gh_o}} &= \Omega_o, \quad \frac{U_{r*}}{\sqrt{gh_o}} = \Gamma_r, \quad \psi \Omega_o = u \end{aligned} \right\} \quad (26)$$

ただし、 $h_o$  は彎曲部始端断面における水路中央の水深、 $r_o$  は水路中央彎曲曲線の曲率半径、 $\theta_o$  はその彎曲部分の中心角とする。また式(26)の最後の関係によつて  $\Omega_o$  は無次元量  $u$  によって代表されるものとする。 $\cos \alpha \approx 1$  とすると、式(19)および(24)はそれぞれ、

$$\left. \begin{aligned} \Gamma_r^2 &= P_m \left( \frac{h_o}{r_o} \right)^3 \frac{\psi u^2}{x^3} + R_m \left( \frac{h_o}{r_o} \right) \frac{u^2}{x^2} - \left( \frac{h_o}{r_o} \right) \psi \frac{\partial \zeta}{\partial x} - 2P_m \left( \frac{h_o}{r_o} \right)^3 \frac{\psi u}{x^2} \frac{\partial u}{\partial x} \\ &\quad - \frac{2Q_m \left( \frac{h_o}{r_o} \right)^2}{\theta_o} \frac{u}{x^2} \frac{\partial u}{\partial y} - \left\{ P_m \left( \frac{h_o}{r_o} \right)^3 \frac{u^2}{x^2} + \left( \frac{h_o}{r_o} \right) \psi \right\} \frac{\partial \psi}{\partial x} \\ 2Q_m \left( \frac{h_o}{r_o} \right) u \frac{\partial u}{\partial x} &+ \frac{2R_m}{\theta_o} \frac{u}{\psi} \frac{\partial u}{\partial y} + \left\{ - \frac{R_m}{\theta_o} \left( \frac{u}{\psi} \right)^2 + \frac{\psi}{\theta_o} \right\} \frac{\partial \psi}{\partial y} \\ &= J_{\theta o} \left( \frac{r_o}{h_o} \right) x \psi - \left( \frac{r_o}{h_o} \right) x \left( \frac{u}{\psi} \right)^2 - Q_m \left( \frac{h_o}{r_o} \right) \frac{u^2}{x} \\ \frac{C_m}{\theta_o} \frac{\partial u}{\partial y} - \frac{2}{h} \left( \frac{h_o}{r_o} \right) \frac{\psi^3}{u} \frac{\partial \psi}{\partial x} &= -B_m \left( \frac{h_o}{r_o} \right) \frac{u \psi}{x} + \frac{2}{h} \left( \frac{h_o}{r_o} \right) \frac{\psi^3}{u} \frac{\partial \zeta}{\partial x} \end{aligned} \right\} \quad (27)$$

式(27)は三個の未知量  $u$ ,  $\psi$ ,  $\theta_r$  に関する非線形一階の聯立偏微分方程式であり、以後の解析の基礎方程式である。

## 2. 特性曲線法による解

式(27)によると、未知量  $\theta_r$  はその式の第1式以外には含まれていない。したがつて、式(27)の第2および第3式を残りの2個の未知量  $u$  および  $\psi$  の方程式とみて、その解をうれば、これらの解を式(27)の第1に代入して未知量  $\theta_r$  をうることができ、問題を解決することが可能である。

いま新しい量  $\rho$ ,  $\delta$ ,  $r$ ,  $s$  および  $\delta_*$ ,  $r_*$ ,  $s_*$  を導入し、それぞれ式(27)の第2式の左辺に含まれる  $\partial u / \partial x$ ,  $\partial u / \partial y$ ,  $\partial \psi / \partial y$  の係数とその右辺、および第3式の左辺に含まれる  $\partial u / \partial y$ ,  $\partial \psi / \partial x$  の係数とその右辺とすると、次式をうる。

$$\left. \begin{aligned} \frac{\partial u}{\partial x} \rho + \frac{\partial u}{\partial y} \delta + \frac{\partial \psi}{\partial y} r &= s \\ \frac{\partial u}{\partial y} \delta_* + \frac{\partial \psi}{\partial x} r_* &= s_* \end{aligned} \right\} \quad (28)$$

方程式(28)の判別式  $D = (8R_m)^2 + 4P\beta_m R_m \gamma$  が正の値をとることは以後の解析によって示される。この検討はここでは省略するが、このことによつて式(28)はいわゆる双曲線型の方程式であり、特性曲線法による数値解法が可能である。

式(28)の第1式の両辺に未知量  $\rho$  をかけ、その式から第2式の両辺を辺々さしひいて得られた式がある量の方向微分になるという条件から  $\rho$  はつきのように2個決定される。

$$\beta_{\pm} = \frac{R_m \psi^4 \pm \psi^2 / (R_m^2 - k Q_m C_m) \psi^4 + k Q_m C_m R_m U^2 \psi}{k Q_m (-R_m U^3 + \psi^3 U)} \quad (\text{符号同順}) \quad (30)$$

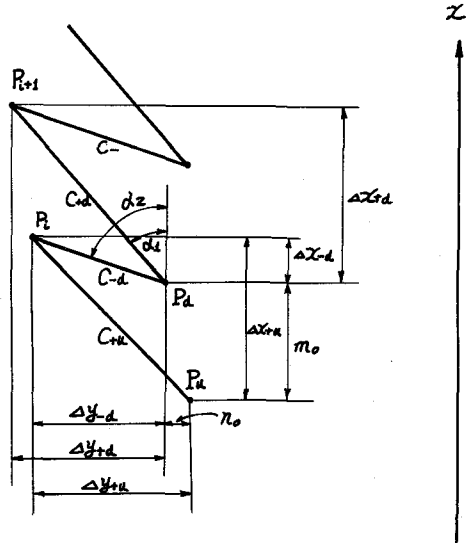
さらに、この場合の特性方程式  $C_+(\beta_+)$ ,  $C_-(\beta_-)$  は、それぞれ、

$$\begin{aligned} \frac{dy}{dx} &= \frac{k}{2} \frac{\beta_{\pm}}{\theta_0} \left( \frac{R_m}{h_0} \right) \frac{U}{\psi^5} (-R_m U^2 + \psi^3) \quad : \quad C_{\pm} \\ \left\{ J_{\theta_0} \left( \frac{R_m}{h_0} \right)^2 \psi^2 - \left( \frac{R_m}{h_0} \right)^2 U^2 - Q_m U^2 \psi^2 + B_m \frac{U \psi^3}{\theta_0} - \frac{2}{k} \frac{U \psi^5}{\psi \beta_{\pm}} \frac{d\psi}{dx} \right\} dx \\ &= \frac{2}{k} \frac{\psi^2 x}{U \beta_{\pm}} (Q_m k \beta_{\pm} U^2 dU + \psi^3 d\psi) \end{aligned} \quad (\text{符号同順}) \quad (31)$$

式(31)のそれを差分方程式にかきかえることにより、つきのようにその数値解をうる。

図-2において、相近接した2点  $P_u(x_u, y_u)$  および  $P_d(x_d, y_d)$  は既知点とする。それらから発進する特性曲線は一般に  $C_{+u}$ ,  $C_{+d}$ ,  $C_{-u}$ ,  $C_{-d}$  の4本が存在し、点  $P_u, P_d$  を結ぶ直線の両側にそれぞれの点から発進する曲線の交点が一つづつ存在する。いま直線  $\overrightarrow{P_u P_d}$  の左側に存在する交点を  $P_i$  とし、その点を通る特性曲線を  $C_{+u}$ ,  $C_{-d}$  とすると、点  $P_i$  の座標  $(x_i, y_i)$  とその点の未知量  $U_i$  および  $\psi_i$  はつきのように決定される。

$$\left. \begin{aligned} x_i &= x_u + \Delta x_{+u} \\ y_i &= y_u + \Delta y_{+u} \\ U_i &= U_u + \Delta U_{+u} \\ \psi_i &= \psi_u + \Delta \psi_{+u} \end{aligned} \right\} \quad (32)$$



ここに、

$$\left. \begin{aligned} \Delta x_{+u} &= \frac{1}{f_{+u} - f_{-d}} (n_o - m_o f_{-d}) \\ \Delta y_{+u} &= \frac{f_{+u}}{f_{+u} - f_{-d}} (n_o - m_o f_{-d}) \\ \Delta \psi_{+u} &= \frac{\Delta x_{+u} (l_u g_{+u} - l_d g_{+u})}{(l_u s_{-d} - l_d s_{+u})} - \frac{l_u \{ m_o g_{-d} + l_d (U_u - U_d) + S_{-d} (Y_u - Y_d) \}}{(l_u s_{-d} - l_d s_{+u})} \\ \Delta U_{+u} &= \frac{g_{+u} \Delta x_{+u}}{l_u} - \frac{S_{+u}}{l_u} \Delta \psi_{+u} \end{aligned} \right\} \quad (33)$$

ここに、

$$\left. \begin{aligned} f_{+u} &= \left\{ \frac{k}{2\theta_0} \left( \frac{r_0}{h_0} \right) - \frac{u \beta_+}{\psi^5} (-R_m u^2 + \psi^3) \right\}_u \\ g_{+u} &= \left\{ J_{00} \left( \frac{r_0}{h_0} \right)^2 x^2 \psi^3 - \left( \frac{r_0}{h_0} \right)^2 x^2 u^2 - Q_m u^2 \psi^2 + B_m \frac{u \psi^3}{\beta_+} - \frac{2}{k} \frac{x \psi^5}{u \beta_+} \frac{\partial S}{\partial x} \right\}_u \\ S_{+u} &= \left( \frac{2}{k} \frac{\psi^5 x}{u \beta_+} \right)_u, \quad \ell_u = 2Q_m (\psi^2 x u)_u \end{aligned} \right\} \quad (34)$$

ただし、 $f_{-d}$ ,  $g_{-d}$ ,  $S_{-d}$  はそれぞれ上式  $f_{+u}$ ,  $g_{+u}$ ,  $S_{+u}$  において  $\beta_+$  の代りに  $\beta_-$  を用いた場合の点  $P_d$  の値をとる。以上によつて各未知点の値  $u$  や  $\psi$  は順次決定されるわけであるが、他の未知量  $\psi$  については以上の計算が終了した後つぎのように計算する。

式(27)の第 3 式を  $\partial u / \partial y$  について解き、その式の第 1 式に代入して、点  $P_d$  の値を求める。

$$\left. \begin{aligned} (\bar{U})_d^2 &= \left( P_m + \frac{2Q_m B_m}{C_m} \right) \left( \frac{h_0}{r_0} \right)^3 \left( \frac{U^2 \psi}{x^3} \right)_d + R_m \left( \frac{h_0}{r_0} \right) \left( \frac{U^2}{\psi^2 x d} \right)_d - \left[ \left\{ \psi + \frac{4Q_m}{C_m k} \left( \frac{h_0}{r_0} \right)^2 \psi^3 \right\} \left( \frac{h_0}{r_0} \right) \frac{\partial S}{\partial x} \right]_d \\ &\quad - 2P_m \left( \frac{h_0}{r_0} \right)^3 \left( \frac{\psi u \partial U}{x^2 \partial z} \right)_d - \left[ \left\{ \frac{4Q_m}{C_m k} \left( \frac{h_0}{r_0} \right)^3 \psi^3 \right\} \frac{P_m}{r_0} \left( \frac{h_0}{r_0} \right)^3 \frac{U^2}{x^2} + \left( \frac{h_0}{r_0} \right) \psi \right] \frac{\partial \psi}{\partial x} \end{aligned} \right]_d \quad (35)$$

つぎに、図-2において点  $P_d$  から発進する二つの特性曲線  $C_{+d}$ ,  $C_{-d}$  に注目し、微小線分長  $\overline{P_d P_{d+1}}$  および  $\overline{P_d P_i}$  をそれぞれ  $\Delta t_{+d}$  および  $\Delta t_{-d}$  とすると、方向微分の性質によつて、

$$\left. \begin{aligned} \frac{\Delta U_{+d}}{\Delta t_{+d}} &= \cos \alpha_1 \left( \frac{\partial U}{\partial x} \right)_d + \sin \alpha_1 \left( \frac{\partial U}{\partial y} \right)_d \\ \frac{\Delta U_{-d}}{\Delta t_{-d}} &= \cos \alpha_2 \left( \frac{\partial U}{\partial x} \right)_d + \sin \alpha_2 \left( \frac{\partial U}{\partial y} \right)_d \end{aligned} \right\} \quad (36)$$

$$\left. \begin{aligned} \frac{\Delta \psi_{+d}}{\Delta t_{+d}} &= \cos \alpha_1 \left( \frac{\partial \psi}{\partial x} \right)_d + \sin \alpha_1 \left( \frac{\partial \psi}{\partial y} \right)_d \\ \frac{\Delta \psi_{-d}}{\Delta t_{-d}} &= \cos \alpha_2 \left( \frac{\partial \psi}{\partial x} \right)_d + \sin \alpha_2 \left( \frac{\partial \psi}{\partial y} \right)_d \end{aligned} \right\} \quad (37)$$

式(6)および(7)をそれぞれ  $(\partial U / \partial x)_d$ ,  $(\partial U / \partial y)_d$ , および  $(\partial \psi / \partial x)_d$ ,  $(\partial \psi / \partial y)_d$  について解き、これらを式(35)に代入すると、各格点の  $\psi$  が決定される。計算結果の一部は講演時に発表する。

以上の計算は著者が 1967 年米国ミネソタ大学滞在中に行つたもの一つで、関係主任教授 A.G. Anderson におうところが多い。ここに厚く謝意を表するものである。

### 参考文献

- 1) I.R. Rozovskii; Flow of Water in Bends of Open Channels, Translated from Russian, 1961
- 2) A.I. Ippen, P.A. Drinker, W.R. Jobin, and G.K. Noutsopoulos; The Distribution of Boundary Shear Stress in Curved Trapezoidal Channel, Technical Report No. 43, 1960.
- 3) 松梨順三郎; 開水路彎曲部流れの水理特性について, 土木学会第 24 回年次学会講演集, p.121, 1969.
- 4) A.I. Ippen, P.A. Drinker, W.R. Jobin, O.H. Shewdin; Stream Dynamics and Boundary Shear Distribution for Curved Trapezoidal Channels, Report No. 47, 1962.